

ЧИСЛЕННОЕ РЕШЕНИЕ СПЕКТРАЛЬНОЙ ЗАДАЧИ О ПРОГРЕВЕ
ПАДАЮЩИМ ИЗВНЕ ИЗЛУЧЕНИЕМ ВЕЩЕСТВА

Б. Н. Четверушкин

(Москва)

Излагается метод решения спектральных задач радиационной газовой динамики в случае, когда отсутствует зависимость по крайней мере от одной декартовой координаты. Приводится вывод соответствующего осредненного уравнения переноса; рассматривается область его применимости. Этим методом проведено численное решение спектральной задачи о прогреве падающим извне излучением вещества. Сравнение с аналогичным решением для «серой» материи позволило проиллюстрировать роль спектральных эффектов [1].

1. Осредненное уравнение переноса. Рассмотрим уравнение переноса излучения для плоского слоя

$$\mu \frac{dI_\nu}{dr} + \kappa'_\nu I_\nu = \frac{\kappa'_\nu}{2} I_{\nu p} \quad (1.1)$$

с граничными условиями

$$I_\nu(r_0, \mu, t) = I^+(\mu, t, \nu) \quad (\mu \geq 0), \quad I_\nu(r_N, \mu, t) = I^-(\mu, t, \nu) \quad (\mu < 0)$$

Здесь μ — косинус угла между направлением полета фотона частоты ν и осью r ; κ'_ν — коэффициент поглощения с учетом вынужденного испускания; $I_{\nu p}$ — равновесная интенсивность излучения черного тела [2].

Поток энергии излучения W запишется в виде

$$W = \int_0^\infty d\nu \int_{-1}^1 \mu I_\nu d\nu \quad (1.2)$$

Предположим, что коэффициент поглощения задан в виде

$$\kappa'_\nu = f_1(\nu) f_2(T, \rho) \quad (1.3)$$

где f_1 и f_2 могут быть произвольными функциями. Проводя в (1.2) замену переменных $\nu = v$, $z = \mu / f_1(v)$ и меняя порядок интегрирования, получим¹

$$W = \int_0^\infty dv \int_{-a}^a z f_1^2(v) I_\nu dz = \int_{-a_+}^{a_+} z I dz \quad (1.4)$$

где

$$a = 1/f_1(v), \quad a_+ = \max_v 1/f_1(v)$$

$$I = \int_\omega f_1^2(v) I_\nu dv$$

Здесь интегрирование производится по множеству ω , состоящему лишь из тех частот, для которых имеет место $a \geq |z|$.

¹ Равенство (1.4) будет справедливо для любой функции $f_1(v, T, \rho)$.

Умножая уравнение (1.1) с соответствующими граничными условиями на $f_1^2(v)$ и интегрируя по множеству ω , получаем уравнение для функции I

$$zdI/dr + f_2(T, \rho) I = f_2 F(T, |z|)/2 \quad (1.5)$$

с граничными условиями

$$I^+(t, z) = \int_{\omega} f_1^2(v) I^+(\mu, t, v) dv \quad (z \geq 0) \quad (1.6)$$

$$I^-(t, z) = \int_{\omega} f_1^2(v) I^-(\mu, t, v) dv \quad (z < 0)$$

Здесь $F(T, |z|)$ — монотонно убывающая функция $|z|$ и определяется по формуле

$$F(T, |z|) = \int_{\omega} f_1^2(v) I_{vp} dv \quad (1.7)$$

Поток W определяется из решения уравнения (1.5) [1]

$$W = \int_{-a_+}^{a_+} zI dz \quad (1.8)$$

В случае, когда $f_1(v, T, \rho)$ — слабо меняющаяся на расстояниях порядка длины свободного пробега функция T, ρ , членом, содержащим производную f_1 по r , получающимся при умножении уравнения (1.1) на f_1^2 , можно пренебречь. Соответствующее осредненное уравнение для I записывается в виде (1.5). Граничные условия и правые части этого уравнения будут определяться из (1.6), (1.7) с $f_1 = f_1(v, T, \rho)$. Равенство (1.8) при этом перейдет в приближенное.

Пусть $f_1(v, T, \rho)$ — произвольная функция v, T, ρ . Проинтегрировав формальным образом написанное осредненное уравнение (1.5) по z в пределах $-a_+' \leq z \leq a_+'$, где $a_+' = \max 1/f_1(v, T, \rho)$, максимум берется по v, T, ρ , получим

$$\frac{dW'}{dr} + f_2 U = f_2 B(T, \rho) \quad (1.9)$$

$$W' = \int_{-a_+'}^{a_+'} zI dz, \quad U = \int_{-a_+'}^{a_+'} I dz, \quad B(T, \rho) = \int_0^{\infty} f_1(v, T, \rho) I_{vp} dv \quad (1.10)$$

Из (1.9) и (1.10) следует, что в предельном случае оптически тонкого нагретого слоя dW'/dr будет совпадать с дивергенцией точного потока излучения dW/dr при произвольной функции $f_1(v, T, \rho)$.

Если вещество находится в состоянии равновесия с излучением, то $f_1(v, T, \rho)$ вне зависимости от своего вида должна быть слабо меняющейся функцией на расстояниях порядка длины свободного пробега.

Таким образом в «предельных оптических состояниях» вещества (оптически тонкий нагретый слой и случай наличия равновесия между веществом и излучением) формальным образом полученное уравнение (1.5) для произвольной f_1 даст результаты, совпадающие с точными. Отметим, что широко используемое в расчетах диффузационное приближение для решения уравнения переноса в предельных оптических состояниях дает результаты, совпадающие с точными. В случае «произвольного оптического состояния» оно всегда дает качественно правильный результат. По аналогии с диффузионным приближением следует ожидать, что для произвольного оптического состояния вещества с произвольным видом функции $f_1(v, T, \rho)$ осредненное уравнение (1.5) всегда дает качественно правильный результат.

Уравнение (1.5) обладает меньшей размерностью, чем уравнение (1.1). Кроме того, оно записано в форме, удобной для применения квазидиффузионного метода. Этот метод позволяет вычисление потока W значительно упростить [3–5]. Отметим, что осредненное уравнение, аналогичное (1.5), может быть получено и для двумерных задач.

Кроме того, предложенное осреднение автоматически может быть перенесено на случай отсутствия локального термодинамического равновесия в веществе. Для получения соответствующего осредненного уравнения достаточно положить коэффициент поглощения и правую часть уравнения переноса заданными в виде

$$\kappa = \kappa_1(v) \kappa_2(r, t), \quad I'(v, r, t)$$

где κ, I' — неявные функции r, t . Вывод осредненного уравнения аналогичен выводу уравнения (1.5).

2. Расчет спектральной задачи о прогреве падающим извне излучением вещества. Рассмотрим задачу о прогреве бесконечного плоского слоя вещества, падающим извне излучением. Такие задачи возникают при рассмотрении падения лазерного излучения на вещество [6–9]. Предполагая, что фазовый переход оказывает несущественное влияние на ход процесса в целом, выпишем систему уравнений, описывающих движение испаренного вещества

$$\frac{dr}{dt} = u, \quad \rho dr = dm, \quad \frac{du}{dt} = -\frac{\partial(p + \omega')}{\partial m}, \quad \frac{\partial \epsilon}{\partial t} = -\frac{\partial W}{\partial m} - p \frac{\partial(ru)}{\partial m} \quad (2.1)$$

$$\epsilon = \epsilon(T, \rho), \quad p = p(T, \rho), \quad \kappa_v' = \kappa'(v, T, \rho)$$

$$\mu \frac{dI_v}{dr} + \kappa_v' I_v = \frac{\kappa_v' I_{vp}}{2}, \quad W = \int_0^\infty dv \int_{-1}^1 \mu I_v d\mu \quad (2.2)$$

Здесь m — лагранжева координата, u — скорость, p — давление, ω' — искусственная вязкость, ϵ — внутренняя энергия.

Уравнения газодинамики (2.1) записаны в лагранжевых координатах, уравнение переноса (2.2) — в эйлеровых. Границными условиями для уравнений газодинамики являются $p = 0$ на левом конце и $u = 0$ на правом. Для уравнения переноса граничное условие записывается в виде

$$\begin{aligned} &\text{на левом конце } I_v(r_0(t), \mu) = I^+(\mu, t, v) \\ &\text{на правом конце } I_v(r_\infty, \mu) = 0 \end{aligned}$$

В качестве начальных условий для уравнений газодинамики полагаем

$$T(r, 0) = u(r, 0), \quad \rho(r, 0) = \rho(r)$$

Численное решение системы уравнений (2.1), (2.2) гораздо сложнее, чем решение задачи в приближении лучистой теплопроводности или в отсутствие переизлучения, когда правая часть уравнения переноса полагается равной нулю. Для расчета системы уравнений (2.1), (2.2) использовались методы, изложенные в [4, 5].

Рассмотрим модельную задачу со следующим граничным условием для уравнения переноса:

$$I^+ = \begin{cases} Ce^t & v \in [12, 36] \\ 0 & v \notin [12, 36] \end{cases}$$

и уравнениями состояния, близкими к уравнениям состояния идеального газа.

Выберем коэффициент поглощения в виде $\kappa' = \rho\varphi(v, T)$, где $\varphi(v, T)$ определяется из таблицы.

| T | $v \in [0, 5]$ | $v \in [5, 12]$ | $v \in [12, 36]$ | $v \in [36, 72]$ | $v \in [72, 144]$ |
|-----|-----------------|-----------------|------------------|------------------|-------------------|
| 0.1 | 10 ⁸ | 5195 | 376 | 14 | 1.74 |
| 0.3 | 3 703 700 | 5195 | 376 | 14 | 1.74 |
| 1 | 131 660 | 3000 | 376 | 14 | 1.74 |
| 2 | 40 316 | 2737 | 221 | 14 | 1.74 |
| 4 | 18 569 | 1331 | 130 | 10.4 | 1.74 |
| 8 | 7 242 | 1137 | 70 | 7.2 | 1.30 |
| 12 | 5 329 | 825 | 53 | 5.9 | 1.02 |
| 16 | 4 197 | 344 | 39 | 5.3 | 0.89 |

Столбцы таблицы получены путем осреднения по Планку в пределах соответствующей группы коэффициента поглощения

$$\kappa(v, T, \rho) = \frac{10^4}{T^{0.5} v^3} \left(1 - \exp \frac{-hv}{kT} \right)$$

Таким образом, используемый для расчета коэффициент $\kappa'(v, T, \rho)$ моделирует практически важный вид коэффициента поглощения [2]

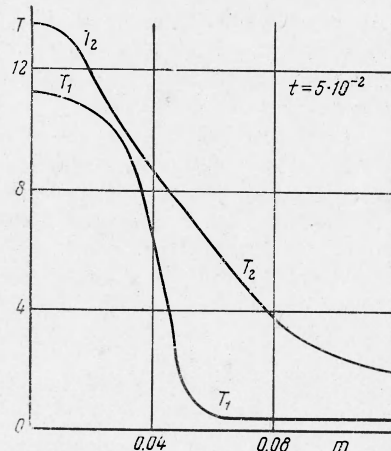
$$\kappa'_v = \kappa_0 \frac{\rho^\beta}{T^{\alpha} v^\theta} \left(1 - \exp \frac{-hv}{kT} \right) \quad (2.3)$$

Для этой задачи пятигрупповое приближение является точным. Сравнение «точного» решения и решения, полученного при помощи осредненного уравнения, показало хорошее количественное совпадение, несмотря на то, что $\kappa'(v, T, \rho)$ нельзя в точности представить в виде произведения функций разделяющихся переменных.

Представленные здесь результаты расчетов спектральной задачи получены при помощи использования осредненного уравнения (1.5). Решение этой задачи было проведено также в одногрупповом приближении серой материи, когда коэффициент поглощения получался путем осреднения по Планку κ' по всему спектру.

Как показывают расчеты, для одногруппового и спектрального вариантов в начальные моменты времени основная часть поглощаемой системой энергии излучения идет на увеличение внутренней энергии вещества. В дальнейшем доля кинетической энергии увеличивается, начинается интенсивный разлет вещества, формируется ударная волна сжатия, которая движется перед тепловой волной по невозмущенному веществу. На фиг. 1 представлены характерные профили температуры для такого сформировавшегося режима, полученные в расчетах одногруппового T_1 и спектрального T_2 вариантов.

Разлет вещества и формирование ударной волны в одногрупповом варианте начинается значительно раньше, чем в спектральном. Этот факт получает простое объяснение из следующих рассуждений. Характерное время τ , за которое происходит формирование ударной волны, определяя

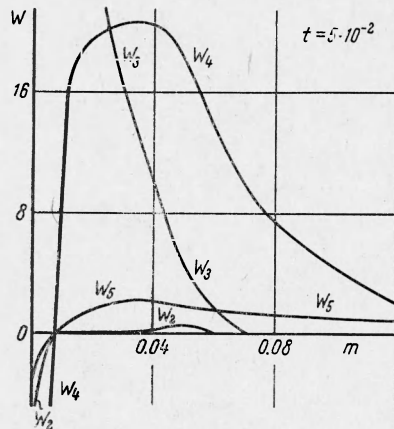


Фиг. 1

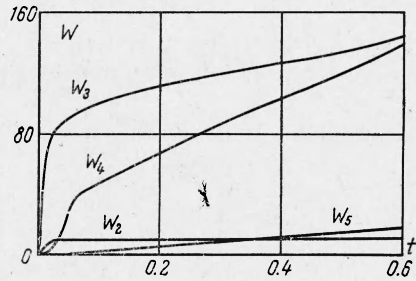
ется из соотношения

$$\tau = l / D \quad (2.4)$$

где l — размеры нагретой области, D — скорость переноса возмущения. По порядку величины l должна совпадать с характерной длиной свободного пробега, которая для спектрального варианта является длиной свободного пробега квантов частоты $v \in [12, 36]$. Эта длина свободного пробега значительно превышает длину свободного пробега для одногруппового варианта.



Фиг. 2



Фиг. 3

Для сформировавшегося режима (фиг. 1) в спектральном варианте вещество вблизи границы в отличие от одногруппового не находится в состоянии равновесия с излучением. Такая картина будет наблюдаться всегда, когда падающее излучение задано в узком спектральном интервале и его нельзя интерпретировать как излучение черного тела при какой-нибудь температуре T_0 .

В отличие от одногруппового в спектральном варианте фронт тепловой волны более пологий. Наблюдаются так называемый «язык» прогрева (фиг. 1). Для оценки роли различных квантов в прогреве впереди лежащих областей на фиг. 2 представлены значения потоков по группам. Как видно из фигуры, основная роль в прогреве принадлежит квантам четвертой группы $v \in [36, 72]$, в прогреве же далеко лежащих холодных слоев также велика роль квантов пятой группы $v \in [72, 144]$. Отметим, что жесткие кванты $v \in [36, 144]$ генерируются непосредственно в горячей области.

С течением времени, поток излучения, падающий на тело, увеличивается $W_+ = \pi C e^t$. Это приводит к возрастанию температуры в нагретой зоне и, как следствие, к увеличению доли излучения жестких квантов. На фиг. 3 приведены значения потоков по группам, высвечиваемых из тела на момент времени t . С ростом мощности падающего излучения увеличивается доля излучения, высвечиваемого в четвертой и пятой группах. Излучение в первой группе практически отсутствует. Следует ожидать, что при падении мощности падающего излучения, например, $W_+ = \pi C e^{-t}$, возрастет доля излучения, высвечиваемого в первой и второй группах. Таким образом, меняя лишь мощность падающего излучения, без изменения его частотных характеристик можно добиться значительного изменения спектрального состава выходящего излучения.

На фиг. 4 представлены значения энергии, вложенной в систему для одногруппового E_1 и спектрального E_2 вариантов. Там же представлены значения внутренней ϵ и кинетической ϵ_v энергий для этих вариантов. Как видно из фиг. 4, ϵ и ϵ_v практически равны в спектральном варианте, а для одногруппового варианта их отношение сохраняется. Таким образом,

